

## 연산 회로에서의 모듈 배치를 통한 지연시간 최적화 알고리즘

김동현

과학영재학교

김태환<sup>0</sup>

서울대학교, 전기·컴퓨터공학부

{dhkim, tkim}@ssl.snu.ac.kr

### Algorithm for Timing Optimization Using Module Placement in Arithmetic Circuits

Donghyun Kim

Busan Science Academy

Taewhan Kim<sup>0</sup>

School of EECS, Seoul National University

#### 요약

본 연구는 컴퓨터 연산을 위한 하드웨어 설계에서 고성능 연산에 사용되는 캐리-세이브 애더(Carry-save adder) 합성에 관한 연구이다. 기존의 연구에서는, 연산 합성 문제와 합성된 연산의 배치 문제를 두개의 연속된 독립된 두개의 문제로 간주하고 풀었지만, 본 연구에서는 연산 합성 과정에서 연산 배치를 고려한 통합된 방법을 제시하여 전체적인 최적화된 결과를 얻었다. 연결선 상에서의 전력 소모나 지연시간이 점점 더 중요해지는 시스템-온-칩(system-on-chip) 설계에서 본 연구의 통합적인 설계 방법은 매우 강요하며 앞으로 효과적으로 이용될 수 있을 것이다.

#### 1. 서 론

하드웨어설계에서의 연산 최적화는 점점 더 소형화 되는 하드웨어와 더불어 그 중요성이 점점 중요해지고 있다. 특히 그것에 대해 시스템 온 칩(System on Chip) 형태의 이런 초소형 디자인에서는 이런 회로의 설계가 매우 중요하다.

이런 회로의 설계에서는 더하기, 빼기 등의 다양한 오퍼레이션이 있다. 이들 중에서 CSA(Carry Save - Adder)는 특히 시간, 공간적 측면에서 상당한 이점을 가지고 있다. CSA는 3개의 n-bit input-bit를 가지고 있으며 2개의 n-bit output-bit을 가지고 있다. Output-bit는 n-bit Sum, Vector 와 n-bit Carry Vector로 이루어져 있다. CSA의 구조적 특성상 n이 커질수록 CSA는 더 큰 효과를 낼 수 있으며 [1]에 의하면 일반적인 adder cell보다 더 뛰어난 성능을 보여주었다. 연산회로들은 [1]에 의하여 CSA로 변환할 수 있다.

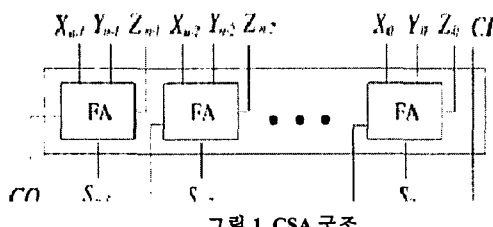


그림 1. CSA 구조

그림 2는 연산 수식으로부터 CSA tree를 생성한 예를 보여준다. 이 CSA 모형에서 각각의 변수 A, B, C, D, E는 각각 delay를 가지고 있으며 최종적으로 나오는 F의 delay는 A + B + C + D + E = F를 구했을 때의 시간이다.

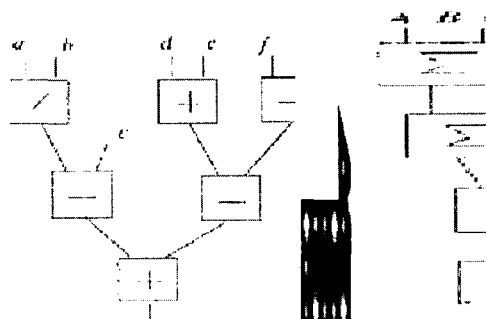


그림 2. CSA tree 생성 예

여기서 만들어지는 CSA tree는 그 회로의 배치에 따라서 매우 효율적인 설계가 될 수도 있고 부적합한 설계가 될 수도 있다. 예를 들어서 그림3과 같이 약간 변형시킨 CSA tree 배치가 나올 수도 있는데 이런 경우 마지막의 D(F)의 값이 조금 달라질 수도 있다 ( $D(x) = x$ 의 delay).

이런 비효율성을 피하기 위해서 CSA tree를 만들 때 가장 빠른 delay를 가진 3개의 변수끼리 묶어서 CSA를 만드는 Greedy Algorithm을 사용하는데 그렇게 만들면 마구잡이로 만드는 것 보다 상당한 시간이 단축됨을 알 수 있다.

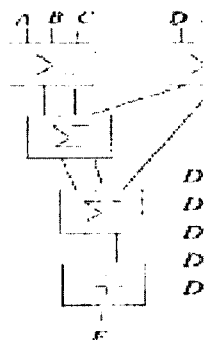


그림 3. 그림 2에서의 생성된 CSA tree 와 구조가 조금 달라진 CSA tree

그러나 [1]의 알고리즘에서 문제점이 발견되는데 CSA와 CSA 사이의 회로에서 걸리는 지연시간을 고려하지 않았다는 것이다. 그림 4.에 따르면 1번 CSA에서 3번 CSA로 갈 때의 CSA의 delay가 조금 달라져 있음을 알 수 있다. 이렇게 약간씩의 변화에 의해 기존의 알고리즘이에서 문제점이 발견될 수 있으며 이런 문제점을 해결하기 위해서는 CSA tree를 만드는 것뿐만이 아닌 배치와 연결선의 지연시간(wire delay)도 고려해주는 것이 필요하다.

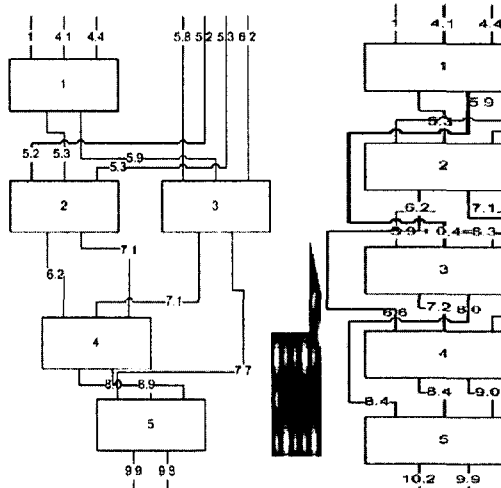


그림 4. 회로에서 걸리는 지연시간을 고려한 것과 고려하지 않은 것의 차이

본 연구는 효율적으로 delay를 줄일 수 있는 배치방법에 대한 알고리즘을 제안한다.

## 2. 자연시간 최소를 고려한 모듈 배치 알고리즘

앞에서 살펴본 대로 기존의 CSA tree를 만드는 방법에서는 그 구조만 생각했었다. 우리는 CSA의 구조를 만들 때 그 다음에 올 input-bit의 연결선 지연시간(wire delay)까지 고려하여 가장 늦은 delay를 가지는 input-bit를 선택하였다.

연결선의 지연시간은 선의 길이에 비례한다. CSA 와 CSA 사이의 간격에 따라서 지연시간은 달라질 수 있다. 그래서 연결선의 지연시간을 구하기 위해서 input-bit 이 들어가는 위치와 output-bit 이 나가는 위치를 고려하여 그 값을 적당히 임의로 주었다. 바로 위의 CSA 에서 값을 받을 때는 지연시간을 치지 않았으며 간격이 하나씩 떨어질 때마다  $\alpha$  만큼의 delay를 주었다.

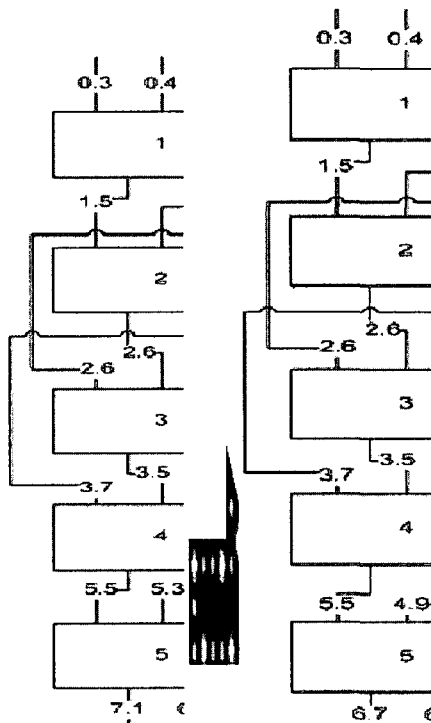


그림5. 1단 (stack) 배치 형태에서의 모듈 배치가 지연시간에 미치는 예

그림 5 은 기존의 알고리즘과 개선한 알고리즘을 비교한 것이다. 이 그림에 따르면 마지막에 나온 delay가 원쪽의 기존알고리즘은 7.1, 오른쪽의 개선알고리즘은 6.7로 다른데 잘 살펴보면 3번 CSA 와 4번 CSA 사이에서 약간의 변화가 있음을 알 수 있다. 이것은 기존의 알고리즘에서 최적화된 구조가 나왔다고 하더라도 회선의 delay를 고려하지 않았기 때문에 최적화되지 않는다는 것을 보여준다.

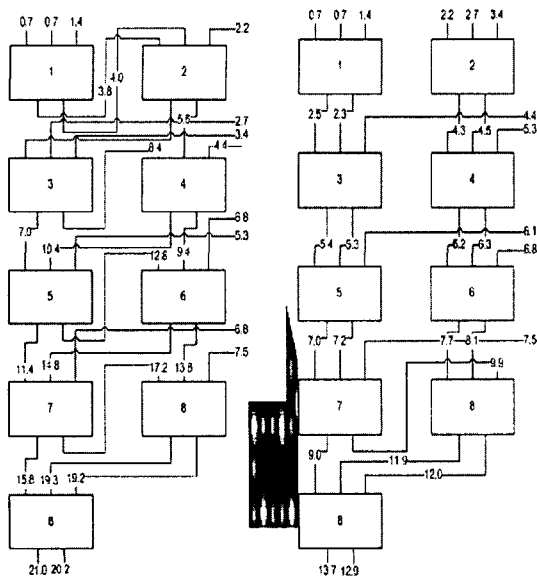


그림 6. 2단 배치 형태에서의 모듈 배치가 지연시간에 미치는 예

그림 6은 2단 배치를 했을 때를 비교한 것이다. 여기서도 약간의 지연 시간 개선이 있음을 알 수 있다.

제안한 모듈 배치와 CSA tree를 동시에 고려한 알고리즘은 기존의 [1]의 제안한 모듈 배치를 고려하지 않고 CSA tree를 생성한 알고리즘에 모듈 배치를 추가하여 새로운 CSA에 입력으로 선택될 operand를 모듈 배치에 따른 연결선에서의 지연시간을 추가한 도착시간에 따라 제일 빠른 도착 시간을 가진 operand를 세 개 선택하여 CSA 입력으로 적용하는 것이다. 자세한 알고리즘은 다음과 같이 기술된다; 먼저 집합 S의 원소 (처음에는 연산 수식의 operand임.)를 정렬한 뒤에 위치에 따른 wire delay를 추가한다. 추가된 값에 따라 다시 집합 S의 원소들을 정렬시키고 그 값에 따라 가장 빨리 오는 세 개의 operand를 선택하여 CSA를 만든다. 나오는 output operands를 set S에 추가시키고 다시 처음의 과정을 반복하면 operands가 2개가 남게 되는데 그 두 개를 끌어서 adder로 만든다.

### 3. 실험 결과

우리는 제안한 알고리즘의 분석을 위하여 c++ 프로그래밍을 통한 실험을 하였다. CSA의 delay를 구하기 Synopsys DC[2] 와 0.35u [3]을 이용하였다. 표 1, 표 2에서는 기존의 알고리즘과 새로운 알고리즘의 비교를 한 것을 정리하여 결과로 출력한 것이다. 실험 결과는 1단, 2단 두 가지로 나뉘어서 진행하였으며 8bit, 16bit, 32bit로 나누어 진행하였다. 표에 따르면 1

단에서는 평균 약 3%의 이점이, 2단에서는 약 13%의 성능향상을 보였다. 이는 배치의 형태가 다양할수록 연결선의 지연시간이 상대적으로 늘어나며, 본 제안한 알고리즘은 연결선의 지연시간을 줄이는 방향으로 모듈 배치를 하고 있음을 알 수 있다.

표 1. 1단 배치에서의 몇 가지 산술연산에서의 기존 알고리즘과 개선 알고리즘의 비교

설계	지연 시간		
	기존	개선	감소율(%)
EXP1(16bit)	256	249	2.69
EXP2(32bit)	488	480	1.74
EXP3(8bit)	87	83	5.13
EXP4(16bit)	146	140	3.76
EXP5(32bit)	140	134	4.0
EXP6(16bit)	398	390	2.09
평균			3.13

표 2. 2단 배치에서의 산술연산에서의 기존 알고리즘과 개선 알고리즘의 비교

설계	지연시간		
	기존	개선	감소율(%)
EXP1(16bit)	151	132	12.5
EXP2(32bit)	269	247	8.1
EXP3(8bit)	63.1	50.6	19.8
EXP4(16bit)	91.9	79.4	13.6
EXP5(32bit)	91.9	75.1	18.2
EXP6(16bit)	248	228	8.0
평균			13.36

$$\text{EXP1(16bit)} : i_1 - i_2 + i_3 \times i_4 + i_5 + i_6 + i_7 \times i_8$$

$$\text{EXP2(32bit)} : i_1 - i_2 + i_3 \times i_4 + i_5 + i_6$$

$$\text{EXP3(8bit)} : i_1 \times i_2 + i_3 - i_4 + i_5 \times i_6 + i_7 + i_8 + i_9 - i_{10}$$

$$\text{EXP4(16bit)} : i_1 \times i_2 + i_3 - i_4 + i_5 - i_6$$

$$\text{EXP5(32bit)} : i_1 - i_2 + i_3 + i_4 + i_5 + i_6 + i_7 + i_8 + i_9 - i_{10}$$

$$\text{EXP6(16bit)} : i_1 \times i_2 + i_3 \times i_4 + i_5 \times i_6 + i_7 \times i_8$$

감사의 글: 본 연구는 KAIST 과학영재 교육원의 R&D 프로그램 지원을 받았음.

### 참고문헌

- [1] T. Kim, W. Jao, and S. Tjiang, "Circuit optimization using carry-save-adder cells", IEEE TCAD, pp.974-984, October 1998.
- [2] Synopsys Inc., Design Compiler User Guide, 2002
- [3] LSI Logic Inc., G10-p Cell-Based ASIC Products Databook, 2000